



Semnan University of Medical Sciences

KOOMEESH

Journal of Semnan University of Medical Sciences

Volume 21, Issue 1 (Winter 2019), 1-204

ISSN: 1608-7046

Full text of all articles indexed in:

Scopus, Index Copernicus, SID, CABI (UK), EMRO, Iranmedex, Magiran, ISC, Embase

تعیین الگوی مقاومت به ماکرولیدها و تتراسایکلین‌ها و ردیابی ژن‌های ermA، ermB، emrC و mphC در ایزوله‌های بالینی استافیلوکوکوس اورئوس تولیدکننده توکسین اندروم شوک توکسیک

حامد طهماسبی^۱ (M.sc)، سالاز ده باشی^۲ (Ph.D student)، محمد رضا عربستانی^۳ (Ph.D)*

۱- گروه میکروبیشناسی، دانشکده پزشکی، دانشگاه علوم پزشکی زاهدان، زاهدان، ایران

۲- گروه میکروبیشناسی، دانشکده پزشکی، دانشگاه علوم پزشکی همدان، همدان، ایران

۳- مرکز تحقیقات بروسلوز، دانشکده پزشکی، دانشگاه علوم پزشکی همدان، همدان، ایران

تاریخ دریافت: ۱۴/۱۱/۲۵ تاریخ پذیرش: ۱۴/۰۶/۱۳۹۶

mohammad.arabestani@gmail.com

* نویسنده مسئول، تلفن: ۰۸۱۲۸۲۸۰۷۷

چکیده

هدف: استفاده طولانی مدت از ماکرولید، لینکوزامید و استرپتوگرامین (MLSB) B برای درمان عفونت‌های ایجاد شده توسط استافیلوکوکوس اورئوس تولیدکننده توکسین ۱ اندروم شوک توکسیک (TSST-1). می‌تواند زمینه ظهور سویه‌های مقاوم را فراهم کند. هدف از این مطالعه، تعیین الگوی مقاومت آنتی‌بیوتیکی به ماکرولیدها و تتراسایکلین‌ها و ژن‌های دخیل در بروز این مقاومت‌ها در سویه‌های استافیلوکوکوس اورئوس تولیدکننده TSST-1 می‌باشد.

مواد و روش‌ها: در این بررسی توصیفی- مقطعی، ۱۱۳ ایزوله استافیلوکوکوس اورئوس مورد مطالعه قرار گرفت. تعیین الگوی مقاومت به ماکرولیدها و تتراسایکلین‌ها و فنوتیپ‌های القایی مختلف با استفاده از روش دیسک دیفیوژن و آزمون D صورت گرفت. برای بررسی حضور ژن‌های ermA، ermB، ermC، mphC و ژن tst از PCR استفاده شد.

یافته‌ها: از ۱۱۳ ایزوله استافیلوکوکوس اورئوس، ۱۳ ایزوله (۱۱/۵٪) دارای فنوتیپ D و ۱۱ ایزوله (۷/۹٪) دارای فنوتیپ R بودند. بر اساس مقاومت به کلینداماپسین- اریتروماپسین، ۶۹ ایزوله (۶۱/۰۶٪) به صورت فنوتیپ S مشاهده شدند. ایزوله‌های مقاوم به تتراسایکلین (۵۹/۲۹٪) دارای بیش ترین فراوانی و ایزوله‌های مقاوم به مینوسایکلین، دیتروماپسین و تلیتروماپسین دارای کم ترین فراوانی بودند. علاوه بر این، ۱۶ ایزوله (۱۴/۱۵٪) دارای ژن tst، ۱۵ ایزوله (۲۷/۱۵٪) دارای ژن ermA، ۶ ایزوله (۳/۱۲٪) دارای ژن ermB، ۱۴ ایزوله (۳۸/۱۲٪) دارای ژن ermC و ۱۱ ایزوله (۸/۰۰٪) هم حامل ژن aphC بود. ارتباط معنی‌داری بین سویه‌های MLSB استافیلوکوکوس اورئوس و حضور ژن tst مشاهده شد (۵/۰٪).

نتیجه‌گیری: مقاومت القایی به کلینداماپسین و تتراسایکلین ارتباط معنی‌داری با حضور ژن tst در سویه‌های استافیلوکوکوس اورئوس تولیدکننده توکسین ۱ TSST داشت.

واژه‌های کلیدی: استافیلوکوکوس اورئوس، مقاومت آنتی‌بیوتیکی، ژن tst، سندروم ۱ شوک توکسیک، ژن ermA، ژن ermB

ظهور استافیلوکوکوس اورئوس مقاوم به آنتی‌بیوتیک نیز می‌تواند مسیر درمان را با مشکل روبرو کند [۴]. در درمان عفونت‌های واپسیه به استافیلوکوک‌های اورئوس از آنتی‌بیوتیک‌های مختلفی استفاده می‌شود، که ماکرولیدها، لینکوزامیدها و استرپتوگرامین (MLSB) B از این دست می‌باشند [۵]. برای درمان برخی از عفونت‌های استافیلوکوکی خصوصاً گونه‌هایی که باعث عفونت‌های پوست و بافت‌های نرم می‌شود، کلینداماپسین یکی از داروی منتخب و موثر این گروه می‌باشد [۶]. به دلیل نفوذ بسیار مناسب این دارود در پوست و ساختارهای پوست، به خوبی اثرگذاری خود را اعمال می‌کند،

مقدمه

تولید توکسین توسط استافیلوکوکوس اورئوس، یکی از مهم‌ترین مواردی است که بیمار را با خطرات بسیاری مواجه می‌کند. توکسین‌های سوپرآنتی‌زن، مانند توکسین ۱ سندروم شوک توکسیک (TSST-1) از این موارد می‌باشد که در ایجاد ضایعات و عفونت‌های پوستی نقش مهمی دارد [۲، ۱]. عامل تولید توکسین ۱ TSST در استافیلوکوکوس اورئوس، ژن tst می‌باشد که در بیش از ۱۰٪ از سویه‌های بالینی معمولاً مشاهده می‌شود [۳]. در کنار حضور فعال این سویه‌ها در بیماران دچار ضایعات پوستی و درمان آن‌ها توسط آنتی‌بیوتیک‌های مختلف،

اگر هاله در اطراف دیسک‌های آنتی‌بیوتیک یاریترومایسین و کلیندامایسین ایجاد گردد، به آن فنوتیپ S می‌گویند [۱۵، ۱۷]. گرچه شناسایی فنوتیپ‌های القایی مقاومت به کلیندامایسین و تتراسایکلین توسط روش‌های حساس قابل انجام می‌شود، اما ممکن است انجام آن زمان بر و به واسطه خطای انسانی، نتایج دارای مشتبه و یا منفی کاذب باشند. هم‌چنین، بسیاری از پژوهشکاران نیز با دیدن مقاومت به اریترومایسین از تجویز کلیندامایسین خودداری می‌کنند، در صورتی که همه سویه‌های مقاوم به اریترومایسین به کلیندامایسین مقاوم نیستند [۱۸]. علاوه بر این، با به میان آمدن سویه‌های استافیلوکوکوس ارئوس مولد توکسین-1 TSST در کنار مقاوم قلمداد کردن این سویه‌ها به اریترومایسین بدون انجام آزمون القا مقاومت، تجویز این دارو در عفونتی که به درستی با این دارو درمان می‌شود صورت نگرفته و شکل درمان را در پی خواهد داشت. به سبب این موارد، استفاده از روش‌های مولکولی می‌تواند نقش مهمی در تشخیص سریع و دقیق سویه‌های MLSB و فنوتیپ‌های القایی مختلف آن باشد. لذا، هدف از این مطالعه تعیین الگوی مقاومت به آنتی‌بیوتیک‌های ماکروولیدی و تتراسایکلینی و شناسایی ژن‌های ermA، ermB، ermC و mphC در ایزوله‌های بالینی استافیلوکوکوس ارئوس تولید کننده توکسین استدروم شوک توکسیک می‌باشد.

مواد و روش‌ها

جمع آوری فونه و جداسازی باکتری‌ها: در این مطالعه توصیفی - مقطوعی، که در سال ۹۵ انجام شد در بازه زمانی بهمن ۹۳ تا دی ۹۴ طی یک دوره ۱۱ ماهه ۳۹۴ نمونه بالینی شامل خون، ادرار، مایع معزی-نخاعی، سوآپ بینی، زخم، ترشحات، تراشه، خلط، بزاق و سایر از بیماران بستری در بخش‌های مختلف مراکز منتخب درمانی دانشگاه علوم پزشکی شهر همدان جمع آوری شد. روش نمونه‌گیری بر مبنای نمونه‌گیری آسان و در دسترس طراحی شد و معیار ورود افراد برای نمونه‌گیری، بیمارانی بودند که به مدت طولانی در بیمارستان بستری و مشکوک به عفونت باکتریایی بودند. جهت افتراق استافیلوکوکوس‌ها از استرپتوكوک‌ها، استافیلوکوک‌ها از میکروکوک‌ها و استافیلوکوکوس‌های کوگولاز مشبت از استافیلوکوکوس‌های کوگولاز منفی به ترتیب از تست‌های کاتالاز، اکیداسیون و کوگولاز لوله‌ای استفاده شد. در نهایت ۱۱۳ ایزوله استافیلوکوکوس ارئوس بعد از انجام آزمایشات افتراقی به دست آمد [۱۹]. جهت تایید مولکولی ایزوله‌های استافیلوکوکوس ارئوس از ژن nuc استفاده شد.

این ویژگی کلیندامایسین در کنار مهار تولید توکسین‌های رابیج و ویرولانس فاکتورهای استافیلوکوکوس اورئوس سبب استفاده گسترده از این دارو شده است [۸، ۷]. اریترومایسین یک ماکروولید و کلیندامایسین یک لینکوزامید است و دو کلاس معین از عوامل ضد میکروبی هستند که سنتر پروتئین را از طریق اتصال به زیر واحد ۵۰S ریبوزوم در سلول‌های باکتری مهار می‌کنند [۹]. استفاده گسترده از این آنتی‌بیوتیک‌ها سبب بروز سویه‌های مقاوم در استافیلوکوکوس اورئوس شده است که مقاومت به هر دو عامل از طریق متیلاسیون سایت هدف ریبوزومی رخ می‌دهد. ایجاد مقاومت به این آنتی‌بیوتیک‌ها در سویه‌های مقاوم شامل دو مکانیسم کلی می‌باشد [۱۰]. در بروز مقاومت از نوع Resistance Constitutive که به نام مقاومت ساختاری شناخته می‌شود، مقاومت به طور مشخص به وسیله ژن msrA ایجاد می‌شود. و به استافیلوکوک‌های ارئوس مقاوم MLSBc به متی‌سیلین که دارای این نوع مقاومت هستند Resistance می‌گویند [۱۱، ۱۲]. در مقاومت‌های القایی یا Inducible مقاومت به وسیله ژن‌های erm ایجاد می‌شود. این ژن‌ها کدکننده آنزیم rRNA متیلاز هستند و این آنزیم سایت اتصال دارو را روی این آنتی‌بیوتیک‌ها دارای سایت اتصال یکسان هستند مقاومت به MLSB (ماکروولید- لینکوزامید- استرپتوگرامین B) ایجاد می‌شود [۱۳]. مصرف این داروها برای درمان سویه‌های استافیلوکوکوس ارئوس مقاوم به متی‌سیلین، که درمان موثری هم روی این سویه‌ها دارند، باعث ظهور سویه‌های جدیدی شده است که به این آنتی‌بیوتیک‌ها مقاومت پیدا کرده‌اند. به استافیلوکوک‌های ارئوس مقاوم به متی‌سیلین که دارای این نوع مقاومت هستند MLSBi می‌گویند [۱۴، ۱۵]. در شرایط آزمایشگاهی ایزوله‌های استافیلوکوک با مقاومت ساختاری یا Constitutive به اریترومایسین و کلیندامایسین مقاومند ولی ایزوله‌هایی که مقاومت قابل القا یا Inducible باشند مقاوم به اریترومایسین و حساس به کلیندامایسین هستند [۱۶]. در این نوع مقاومت باکتری تولید mRNA غیر mRNA می‌نماید که قادر به کد نمودن متیلاز نیست این فعال می‌نماید که در حضور یک ماکروولید القاء‌کننده فعال می‌گردد ماکروولید در حضور یک ماکروولید القاء‌کننده باعث می‌شود که آرایش جدید پیدا کرده و ترجمه گردد و متیلاز ایجاد شود. با استفاده از دیسک‌های اریترومایسین و کلیندامایسین مقاومت القایی در استافیلوکوکوس ارئوس را می‌توان تعیین کرد. ساختاری به دیسک‌های مورد استفاده در تست فنوتیپی می‌گردد و هیچ هاله‌ای تشکیل نمی‌شود که به آن فنوتیپ R می‌گویند، هم‌چنین

کیت مورد استفاده بی گرفته شد. DNA به دست آمده بعد از تعیین کیفیت و کمیت، در دمای ۲۰–۲۰ درجه سانتی گراد برای انجام آزمون های مولکولی، ذخیره شد.

آماده سازی پرایمرها و انجام PCR: پرایمرهای مورد استفاده بعد از رقیق سازی با غلظت ۱۵ پیکومولار برای تهیه مخلوط آماده گردید. حجم نهایی واکنش PCR ۲۵ میکرولیتر در نظر گرفته شد که شامل: ۲ میکرولیتر از DNA الگو، ۱ میکرولیتر از هر پرایمر با غلظت ۲۵ پیکومولار و ۲۵ میکرولیتر از مستر میکس (Ampliqon آلمان) استفاده شد. برای تکثیر زن های مورد مطالعه از ترموسایکلر BioRad C1001 (آمریکا) استفاده شد. مشخصات و چرخه های دمایی جهت تکثیر زن های مورد مطالعه در جدول ۱ آورده شده است.

الکتروفورز روی ژل اگارز ۱/۵٪: ۵ میکرولیتر از محصول نهایی PCR در ژل اگارز ۱/۵٪ در بافر X/۰/۰ الکتروفورز گردید. از مارکر ۱۰۰ bp فرمتاز (Thermofisher آمریکا) برای شناسایی باند مورد نظر استفاده شد. در این بررسی از سویه استاندارد استافیلوکوکوس اورئوس ATCC33591 و ATCC43300 به عنوان کنترل مثبت و از سویه استافیلوکوکوس اورئوس ATCC25923 به عنوان کنترل منفی استفاده شد.

تجزیه و تحلیل داده ها: نتایج به دست آمده از تعیین مقاومت های آنتی بیوتیکی به روش فتوتیپی با استفاده از نرم افزار WHONet ۵/۵ مورد بررسی، تجزیه و تحلیل قرار گرفت. هم چنین از نرم افزار SPSS نسخه ۱۶ برای آنالیزهای داده ها با آزمون آماری K2 برای مقایسه یافته ها مورد استفاده قرار گرفتند. در این مطالعه مقدار $p < 0.05$ معنی دار در نظر گرفته شد.

تعیین الگوی مقاومت آنتی بیوتیکی در استافیلوکوکوس اورئوس: برای تعیین الگوی مقاومت به آنتی بیوتیک های لینکوزامیدی و تتراسایکلینی از دیسک های آنتی بیوتیکی کلینداما میسین (۲ میکرو گرم)، تتراسایکلین (۳۰ میکرو گرم)، داکسی سایکلین (۳۰ میکرو گرم)، مینوسایکلین (۳۰ میکرو گرم) و آزیتروما میسین (۱۵ میکرو گرم)، اریتروما میسین (۱۵ میکرو گرم)، دیتروداما میسین (۱۵ میکرو گرم) و تلیترودا میسین (۱۵ میکرو گرم) به روش دیسک دیفیوژن استفاده شد (MAST انگلستان). قطر هاله های ایجاد شده با استفاده از CLSI مورد بررسی قرار گرفت [۲۰].

تعیین سویه های مقاوم به لینکوزامیدها و تتراسایکلین ها توسط آزمون الق: بعد از کشت اولیه از محلول نیم مک فارلن د ۲ به روش چمنی، در هر پلیت دیسک کلینداما میسین (۲ میکرو گرمی) (HiMedia هند) را در فاصله ۱۵–۲۶ میلی متری از دیسک اریترودا میسین (۱۵ میکرو گرمی) (HiMedia هند) به صورت مرکز به مرکز قرار گرفت گرم خانه گذاری شد. مسطح شدن منطقه مهاری در اطراف دیسک کلینداما میسین که در مجاورت دیسک اریترودا میسین قرار می گیرد (منطقه مهاری به شکل حرف D) سبب مثبت شدن تست می شوند. در این مطالعه از سویه استافیلوکوکوس اورئوس ۲۹۲۱۳ به عنوان کنترل مثبت شد. از سویه استافیلوکوکوس اورئوس ATCC25923 به عنوان کنترل منفی استفاده شد [۲۱].

استخراج ژنومی با استفاده از کیت استخراج: برای انجام استخراج ژنومیک از کیت استخراج استخراج گردید. بدین منظور بعد از کشت اولیه بر روی محیط agar (Blood Merck آلمان) با ۵٪ خون گوسفند، کلنی های به دست آمده داخل محیط LB Broth (Merck آلمان) تلقیح و بعد از ۲۴ ساعت گرم خانه گذاری در ۳۷ درجه سلسیوس، مراحل با توجه به پروتکل

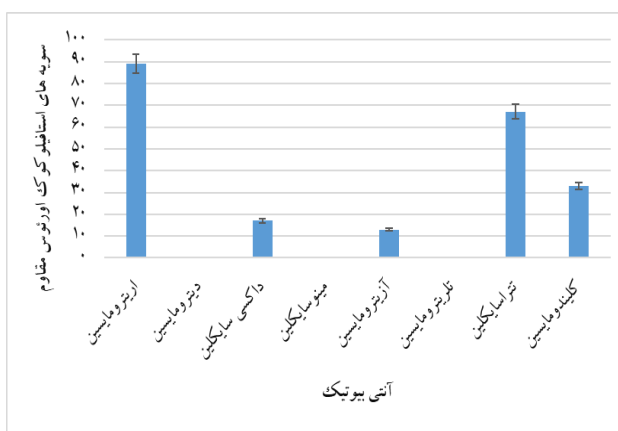
جدول ۱. لیست پرایمرها و تنظیمات دمایی مورد استفاده جهت تکثیر زن های *tst* و *mphC*, *ermC*, *ermB*, *ermA*

رفرنس	تعداد سیکل (شرط دمایی)	اندازه (bp)	ژن های مورد نظر
[۲۲]	(۳۰) ۳۰ ثانیه ۴۰، ۵۵°C	۴۲۱	<i>ermA</i>
[۲۲]	(۳۰) ۳۰ ثانیه ۴۰، ۵۶°C	۳۵۹	<i>ermB</i>
[۲۲]	(۳۰) ۳۰ ثانیه ۴۰، ۵۵°C	۵۷۲	<i>ermB</i>
[۲۲]	(۳۵) ۶۰ ثانیه ۴۰، ۹۴°C	۳۲۶	<i>tst</i>
[۲۴]	(۳۰) ۳۰ ثانیه ۴۰، ۵۵°C	۷۲۲	<i>mphC</i>
[۱۲]	(۳۰) ۶۰ ثانیه ۴۰، ۹۴°C	۲۷۹	<i>nuc</i>

سواب یینی، ۴ ایزوله (۳/۵۳٪) از مایع مغزی-نخاعی و ۹ ایزوله (۷/۹۶٪) از کاترها و شالدون جداسازی شد. ۶۹ ایزوله (۶۱/۰۶٪) از زنان و ۴۴ ایزوله (۳۸/۹۳٪) از مردان جمع آوری شد (جدول ۲).

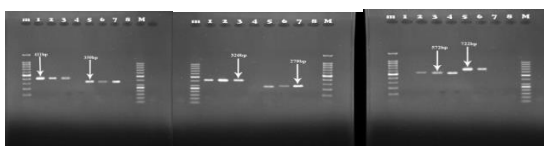
نتایج

از مجموع ۱۱۳ استافیلوکوکوس اورئوس جدا شده از بخش های مختلف بیمارستانی، ۳۴ ایزوله (۳٪) از کشت ادرار، ۲۹ ایزوله (۲۵/۶۶٪) از کشت خون، ۱۲ ایزوله (۱۰/۶۱٪) از زخم، ۷ ایزوله (۶/۱۹٪) از ترشحات، ۱۸ ایزوله (۱۵/۹۲٪) از



شکل ۲. فراوانی الگوی مقاومت آنتی بیوتیکی ایزوله های بالینی/ستافیلکوکوس اورئوس

نتایج آزمون PCR: برای سنجش سویه های تولیدکننده توکسین ۱ سندروم شوک توکسیک از ژن *tst* و تکثیر مصنوعی آن در ایزوله های حامل استفاده شد. بر اساس آزمون PCR انجام شده از مجموع ۱۱۳ ایزوله مورد بررسی، ۱۶ ایزوله دارای ژن *tst* (۱۳/۲۷٪)، ۱۵ ایزوله ژن *ermA* (۱۴/۱۵٪)، ۶ ایزوله ژن *ermB* (۰/۵٪)، ۱ ایزوله ژن *ermC* (۰/۰٪) هم حامل ژن *aphC* بود. بر اساس آنالیز آماری انجام شده، از میان ۱۶ ایزوله تولید کننده توکسین ۱ سندروم شوک توکسیک، ۱۲ ایزوله ژن *ermA* (۷۵٪) حامل ژن *ermB* (۲۵٪) دارای ژن *ermC* (۶/۲٪) دارای ژن *aphC* بودند. ژن های عامل مقاومت به آمینوگلیکوزیدها و توکسین ۱ سندروم شوک توکسیک در ایزوله های خون و ادرار و کاتاتر دارای فراوانی بیشتری بودند. علاوه بر این، ۱ ایزوله (۰/۸٪) بالینی استافیلکوکوس اورئوس دارای مقاومت به متیسیلین و حامل تمامی ژن های مورد مطالعه بود (شکل ۳ و جدول ۳).



شکل ۳. الکتروفورز محصولات ژن های *ermA* و *ermB* با طول آمپلیکون ۴۱۱ و ۳۵۹ جفت باز (تصویر سمت چپ)، ژن های *ermC* و *aphC* با طول آمپلیکون ۵۷۲ و ۷۲۲ جفت باز (تصویر سمت راست) و ژن های *tst* و *nuc* با طول آمپلیکون ۳۲۶ و ۲۷۹ جفت باز (تصویر پایین) بر روی ژل اگارز ۱/۵ درصد. چاهک ۱ و ۵ کنترل مثبت و چاهک ۴ و ۸ کنترل منفی. چاهک M مارکر با طول ۵۰ جفت باز و چاهک ATCC43300 و سویه استاندارد استافیلکوکوس اورئوس ATCC33591 کنترل مثبت. استافیلکوکوس اورئوس ATCC25923 کنترل منفی.

نتایج تجزیه و تحلیل آماری: با توجه به معنی دارن بودن مقادیر P-Value در بازه ۰/۰۵ و کمتر از ۰/۰۵، مقادیر به دست

جدول ۲. فراوانی ایزوله های مختلف استافیلکوکوس اورئوس در جنس های مختلف بیماران

استافیلکوکوس اورئوس		
جنسيت بيمار	سویه های حامل توکسين	سویه های فاقد توکسين
(n=۹۷)	(n=۱۶)	(n=۱۳)
زن	۵۷/۷۳(۵۶)	۱۳/۲۵(۱۳)
مرد	۴۰/۲(۴۰)	۲۵/۳۱(۵)

نتایج مقاومت بر اساس تست های فنو تیپی: از مجموع ۱۱۳ ایزوله استافیلکوکوس اورئوس به دست آمده از نمونه های مختلف ۱۳ ایزوله (۱۱/۵٪) دارای فنو تیپ D بودند. بر اساس مقاومت به کلیندامایسین-اریترومایسین، ۶۹ ایزوله (۶۱/۰۶٪) دارای فنو تیپ S بودند. علاوه بر این ۱۱ ایزوله (۹/۷٪) دارای فنو تیپ R بودند. ایزوله های به دست آمده از نمونه های کشت ادرار و کشت خون دارای بیشترین فراوانی بودند، به طوری که از ۱۳ ایزوله دارای فنو تیپ D، ۵ ایزوله از کشت ادرار و ۴ ایزوله از کشت خون جداسازی گردید. همچنین از ۱۱ ایزوله دارای فنو تیپ R، ۶ ایزوله از کشت ادرار و ۳ ایزوله از کشت خون به دست آمد (شکل ۱).



شکل ۱. انواع مختلف سویه های MLBs/ستافیلکوکوس اورئوس

نتایج آنتی بیو گرام: نمونه های استافیلکوکوس جمع آوری شده با استفاده از دیسک های آنتی بیوتیکی و روش دیسک دیفیوژن (Kirby Bauer) تعیین حساسیت شدند. بر این اساس ۳۳ ایزوله (۲۹/۲٪) به کلیندامایسین، ۶۷ ایزوله (۵۹/۲۹٪) به تتراسایکلین، ۱۷ ایزوله (۱۵/۰۴٪) به داکسی سایکلین، ۱۳ ایزوله (۱۱/۵٪) به آزیترومایسین مقاوم بودند. هیچیک از ایزوله ها به آنتی بیوتیک های مینوسایکلین، دیترومایسین و تلیترومایسین مقاوم نبودند. همچنین ۴۷ ایزوله (۴۱/۵۹٪) از ایزوله های مقاوم به سفوکسیتین بودند و استافیلکوکوس اورئوس مقاوم به متیسیلین در نظر گرفته شدند. در این بین، ایزوله های جدا شده از نمونه های بالینی کشت خون و زخم و ادرار دارای الگوی مقاومت به چند آنتی بیوتیک بودند. همچنین بیشترین تعداد ایزوله های مقاوم به متیسیلین در نمونه های زخم و خون مشاهده شد (شکل ۱ و ۲).

ارتباط معنی‌داری بین فنتیپ القایی و حضور ژن *tst* مشاهده شد، علاوه بر این، ژن *tst* در سویه‌های حامل ژن‌های آمینوگلیکوزیدی نیز دارای بیشترین فراوانی بود که حضور این ژن با ژن‌های ermA، ermB، ermC، aphC، ارتباط معنی‌داری را نشان داد (جدول ۳).

آمده از P.Value برای فنتیپ‌های القایی D و R و S که حامل ژن *tst* بودند به ترتیب ۰/۰۱۵، ۰/۰۴۵، ۰/۰۲۵ و ۰/۰۰۱ به دست آمده. همچنین مقادیر P.Value برای ژن *tst* و ermA به ترتیب ۰/۰۰۴۱، ۰/۰۰۴۹، ۰/۰۰۳۳، ۰/۰۰۴۹، ermB و aphC به ترتیب ۰/۰۰۰۱، ۰/۰۰۰۱ به دست آمد. با توجه به مقادیر به دست آمده،

جدول ۳. فراوانی ژن‌های مختلف استافیلیوکوکوس اورئوس جدا شده از نمونه‌های بالینی مختلف در ایزوله‌های mphC، emrC، ermB، ermA و *tst*

استافیلیوکوکوس اورئوس (n=۱۱۳)												ژن‌های مورد بررسی
		مایع مغزی-نخاعی (%)		شالدون کاتاتر (%)		ترشحات ریوی (%)		خون (%)		زخم (%)		ادرار (%)
<i>tst</i> (-)	<i>tst</i> (+)	<i>tst</i> (-)	<i>tst</i> (+)	<i>tst</i> (-)	<i>tst</i> (+)	<i>tst</i> (-)	<i>tst</i> (+)	<i>tst</i> (-)	<i>tst</i> (+)	<i>tst</i> (-)	<i>tst</i> (+)	ermA
۱	.	(٪) ۱۴/۹	۱	۱	۰	۶	۱	(٪) ۴۲	۵	۲۱	۰	ermA
.	.	(٪) ۸/۲	۰	۰	۰	(٪) ۸۵	۱	۲	۹	۵	(٪) ۱۵/۶	ermB
.	.	(٪) ۸/۱	۰	۰	۰	۹	۰	(٪) ۴۳	۱	۰	۰	ermC
.	.	(٪) ۸/۰	۱	۰	۰	۱	۰	(٪) ۱/۱	۰	۰	۰	aphC

محیطی شده‌اند، ایجاد می‌کند، این تغییرات گسترده مکانیسم‌های مقاومت به آنتی‌بیوتیکی باکتری را نیز دست‌خوش تغییر قرار داده و سبب می‌شود این سویه‌های نسبت به سویه‌های غیر مهاجم، مقاوم‌تر شوند [۲۶، ۲۷]. در مطالعه حاضر، ایزوله‌های استافیلیوکوکوس اورئوس مقاوم به گروه ماکرولیدی، لینکوزامیدی و استرپتوگرامینی نیز مورد بررسی قرار گرفته و مشخص شد که فراوانی سویه‌های MLSB و ژن‌های عامل مقاومت به این گروه، در بیشتر سویه‌های حامل ژن *tst* وجود داشت. در بررسی‌های صورت گرفته توسط Matsushima و همکاران در سال ۲۰۱۶ در ژاپن مشخص شد که بیمارانی که دچار عفونت‌های با منشا استافیلیوکوکوس اورئوس تولیدکننده TSST-1 می‌شوند، میزان آنتی‌ژن سرمی آن‌ها با تغییرات شدیدی همراه شده و سبب ایجاد شرایط مناسبی برای فعالیت باکتری می‌گردد. شایدیکی از مهم‌ترین دلایل این امر و بر هم خوردن پایداری سیستم ایمنی-آنتی‌ژنی را فعالیت توکسین‌های سوپر آنتی‌ژن دانست. توکسین-1 TSST-1 که توکسین سوپر آنتی‌ژن می‌باشد و می‌تواند با درگیر شدن با لنفوسيت‌های Th تنش شدیدی را به میزبان وارد کند [۲۸]. این در حالی است که، Corredor و همکاران نیز در سال ۲۰۱۶ در آمریکا گزارش کردند که بین مقاومت آنتی‌بیوتیکی و حضور و فعالیت سوپر آنتی‌ژن‌ها را به میان‌کشیدند و بیان کردند که، ایزوله‌های استافیلیوکوکوس اورئوس تولیدکننده سوپر آنتی‌ژن به طور معنی‌داری الگوی مقاومت کاملاً متفاوتی با سویه‌های فاقد توکسین دارند [۲۹]. در برخی موارد حضور ژن‌های حمل شونده بر روی قطعات ژنی خاص می‌تواند و سویه‌های جدا شده از کادر بیمارستانی نیز می‌تواند سبب گردش سویه‌های دارای بیماری‌زاوی باشد و زمینه عفونت در افراد حساس را فراهم کند. در مطالعاتی که Javadi و همکاران در

بحث و نتیجه‌گیری

سویه‌های استافیلیوکوکوس اورئوس تولیدکننده توکسین ۱ سندروم شوک توکسیک می‌تواند با ایجاد کردن التهاب‌های گسترده سبب پوسته‌ریزی شوند. یکی از ساختهای خصوصیات این توکسین فراوانی بالای آن‌ها در زنان می‌باشد. به طوری که در مطالعه حاضر این سویه‌های حامل ژن *tst* در زنان بیشتر بود. Mطالعاتی که Bokaeian و همکاران در سال ۲۰۱۶ در شهر زاهدان داشتند، فراوانی این ژن را ۱۴٪ گزارش دادند [۲]. در مطالعاتی که Parsonnet و همکاران در سال ۲۰۱۰ در آمریکا انجام دادند مشخص شد که ارتباط معنی‌داری بین حضور سویه‌های تولیدکننده TSST-1 و جنسیت بیماران وجود دارد. به طوری که حضور و فعالیت استافیلیوکوکوس اورئوس تولیدکننده این توکسین در زنان بیشتر از مردان بود. شاید از جمله دلایل این امر را بتوان به فعالیت-1 TSST در زنانی که در دوره عادت ماهانه خود از تامپون‌های بهداشتی استفاده می‌کنند نسبت داد [۲۵].

با این حال، دلایل محکمی در باب فعالیت استافیلیوکوکوس اورئوس حامل توکسین-1 TSST در دوره عادت ماهانه وجود ندارد، اما در بسیاری از مطالعات تغییرات در میزان اکسیژن، آهن، تعادلات هورمونی و همچنین مقدار pH محیط واژن از جمله دلایلی است که به آن اشاره شده است [۲۵]. در مطالعاتی که Gupta و همکاران در سال ۲۰۱۶ در آمریکا و Yang و همکاران در سال ۲۰۱۴ در چین انجام دادند مشخص شد که مقادیر متفاوت اکسیژن و pH محیطی می‌تواند در بروز برخی مقاومت‌های آنتی‌بیوتیکی نقش مهمی داشته باشد. زمانی که استافیلیوکوکوس اورئوس ایجاد کننده سندروم فلسفی شدن پوست (TST) که توسط توکسین-1 TSST فعالیت خود را از بیمارانی که دچار افت سیستم ایمنی، عادت ماهانه و یا شوک

ژن‌های عامل بیماری‌زایی و عامل مقاومت در این باکتری علاوه بر ایجاد ضایعات بافتی گسترشده، می‌تواند در مقابل درمان مقاومت کرده و مسیر درمان را کند کنند. گرچه، فنوتیپ القایی و حضور ژن‌های عامل مقاومت به گروه MLSB با حضور ژن tst در سویه‌های استافیلوکوکوس اورئوس دارای ارتباط معنی‌داری بود، اما برای افزایش احتمال این موضوع و قطعیت بخشیدن به آن، نیاز به انجام مطالعات بیشتر در بازه‌های زمانی طولانی می‌باشد. هم‌چنین از مواردی که در ادامه این مطالعه می‌تواند صورت گیرد، استفاده از فاکتورهای مختلف مانند جنسیت، دوران مختلف زندگی بیماران، وضعیت جسمی بیماران، سویه‌های دارای مقاومت چندگانه و نقش هورمون‌های جنسی در اثربخشی این ارتباط می‌باشد. زیرا در برخی موارد ممکن است ایزولهای مورد مطالعه از بیمارانی باشد که تحت تاثیر برخی متغیرها دارای خصوصیات خاصی شده باشند که توانایی حمل ژن‌های بیماری‌زا و ژن‌های عامل مقاومت به آنتی‌بیوتیک را از خود نشان دهند. با در نظر گرفتن این موارد در کنار وجود خطای انسانی جهت تشخیص مقاومت‌های القایی در استافیلوکوکوس اورئوس، پیشنهاد این پژوهش، کنترل MLSB و اعمال حساسیت بیشتر در امر تشخیص سویه‌های MLSB می‌باشد تا با کمک گرفتن از تکنیک‌های دقیق‌تر و حساس‌تر مانند PCR بتوان شناسایی سویه‌های مقاوم به این آنتی‌بیوتیک‌ها را با دقت و سرعت بیشتری انجام داد. پزشکان و مشکلات بزرگ آن‌ها در درمان بیمارانی که به نوعی نیازمند به گروه‌های ماکرولیدی، لینکوزامیدی و استرپتوگرامینی هستند، حول یک محور مهم می‌چرخد و آن تشخیص صحیح الگوی مقاومت آنتی‌بیوتیکی به اینه کلاس آنتی‌بیوتیکی است تا بتواند خط درمانی مناسبی را آغاز کنند. در مطالعه حاضر پیشنهاد می‌شود که با انجام بررسی‌های بیشتر، قطعیت بیشتری بین حضور و فعالیت ژن‌های عامل مقاومت به MLSB‌ها و حضور ژن‌های عامل توکسین‌های سوپر آنتی‌ژن بخشد.

تشکر و قدردانی

این مقاله حاصل طرح تحقیقاتی هیئت علمی با شماره IR.UMSHA.REC.1395.249 و کد اخلاقی ۹۵۱۰۰۷۵۷۵۷ در سال ۱۳۹۵ می‌باشد که با حمایت مالی معاونت پژوهشی دانشگاه علوم پزشکی همدان به انجام رسیده است. نویسنده‌گان مراتب تشکر و قدردانی خود را از این معاونت محترم ابراز می‌دارند.

منابع

[1] Formosa-Dague C, Speziale P, Foster TJ, Geoghegan JA, Dufrene YF. Zinc-dependent mechanical properties of

تهران انجام دادند مشخص شد که بینی و دست پرستاران و کارکنان به عنوان بیشترین منابع کلوبیزاسیون محیطی سویه‌های استافیلوکوکوس اورئوس دارای مقاومت بالا و چندگانه می‌باشد [۳۰].

الگوی مقاومت آنتی‌بیوتیکی و شیوع سویه‌های MLSB استافیلوکوکوس اورئوس در مطالعه حاضر نشان داد که، فراوانی این سویه‌ها در حد نگران‌کننده‌ای قرار نگرفته است. گرچه در مطالعاتی که عربستانی و همکاران در سال ۲۰۱۴ در شهر همدان بر روی سویه‌های استافیلوکوک مقاوم به متی‌سیلین انجام داده بودند، فراوانی سویه‌های مقاوم به متی‌سیلین و تولیدکننده توکسین را زیر ۸٪ گزارش دادند، اما در مطالعه ما، این افزایش به بیش از ۱۰٪ نگرانی گسترش سویه‌های مهاجم و مقاوم را افزایش می‌دهد. در مطالعاتی که Almeida و همکاران در سال ۲۰۱۰ در برزیل، Saderi و همکاران در سال ۲۰۱۱ در تهران، Vallianou و همکاران در سال ۲۰۱۵ در یونان، Elkammoshi و همکاران در سال ۲۰۱۶ در مالزی و Sedaghat و همکاران در سال ۲۰۱۷ در اصفهان داشتند، یک سیر صعودی و نزولی ناهمانگی را نشان دادند. شاید یکی از عده دلایلی که نتایج الگوی مقاومت آنتی‌بیوتیکی و حضور ژن‌های مورد مطالعه با مطالعات ذکر شده هم‌خوانی زیادی ندارد، را مربوط به فعالیت ژن tst دانست. فعالیت این ژن در سایر مطالعات مورد بررسی قرار نگرفته بود، در حالی که در مطالعه ما، بیشتر سویه‌های حامل ژن tst دارای مقاومت کامل و فنوتیپ D و R بودند. این امر می‌تواند دل بر فعالیت ژن های سوپر آنتی‌ژن و فراهم کردن شرایط مناسب جهت مقاوم‌تر کردن سویه‌های استافیلوکوکوس مقاوم به آنتی‌بیوتیک باشد [۱۰، ۱۲، ۱۴، ۱۶].

در بررسی‌های صورت گرفته Teeraputon و همکاران در تایلند بر روی سویه‌های MLSB و حامل ژن‌های عوامل بیماری‌زای همولیزینی مشخص شد که ارتباط معنی‌داری بین سویه‌های بیماری‌زا و مقاومت به این گروه آنتی‌بیوتیکی وجود دارد. این امر می‌تواند با نقص در شناسایی سویه‌های استافیلوکوکوس اورئوس دارای فنوتیپ‌های مختلف القایی - مهاری گروه MLSB با حساسیت بیشتری مواجه شود [۱۰]. به طوری که حضور و فعالیت سویه‌های مقاوم به آنتی‌بیوتیک سبب فعل شدن برخی از عوامل خطرناک استافیلوکوکوس اورئوس نیز می‌شود که نقش مهمی در آسیب رساندن به بافت‌های بدن، ایجاد شوک توکسیک و هم‌چنین انتشار باکتری دارند. این در حالی بود که، حضور ژن tst در مطالعه ما ارتباط معنی‌داری را با الگوی مقاومت القایی در سویه‌های استافیلوکوکوس اورئوس مورد مطالعه نشان داد. همراه شدن

- genotype determined by multiplex PCR assays and the antibiotic susceptibility patterns of *Staphylococcus aureus* and *Staphylococcus epidermidis*. *Antimicrob Agents Chemother* 2000; 44: 231-238.
- [16] Abdal N, Ghaznavirad E, Hamidi A, Hosseini D. Prevalence of genes encoding aminoglycoside resistant in methicillin-sensitive *Staphylococcus aurous* and coagulase-negative staphylococci isolated from hospital infectious. *Koomesh* 2014; 16:82-89. (Persian).
- [17] Lewis JS 2nd, Jorgensen JH. Inducible clindamycin resistance in Staphylococci: should clinicians and microbiologists be concerned? *Clin Infect Dis* 2005; 40: 280-285.
- [18] Daurel C, Huet C, Dhalluin A, Bes M, Etienne J, Leclercq R. Differences in potential for selection of clindamycin-resistant mutants between inducible erm(A) and erm(C) *Staphylococcus aureus* genes. *J Clin Microbiol* 2008; 46: 546-550.
- [19] Mahon, Connie R., Donald C Lehman, and George Manuseis. Textbook of Diagnostic Microbiology. 3rd ed. St. Louis, Mo.: Saunders Elsevier, 2007.
- [20] Clinical and Laboratory Standards Institute. 2014. Performance standards for antimicrobial susceptibility testing; 24th informational supplement. CLSI M100-S24. Clinical and Laboratory Standards Institute, Wayne, PA.
- [21] NCCLS. Performance standards for antimicrobial susceptibility testing: 12th informational supplement. NCCLS document M100S14. Wayne, PA: NCCLS, 2004.
- [22] Lim JA, Kwon AR, Kim SK, Chong Y, Lee K, Choi EC. Prevalence of resistance to macrolide, lincosamide and streptogramin antibiotics in Gram-positive cocci isolated in a Korean hospital. *J Antimicrob Chemother* 2002; 49: 489-495.
- [23] Nada HA, Gomaa NIM, Elakhras A, Wasfy R, Baker RA. Skin colonization by superantigen-producing *Staphylococcus aureus* in Egyptian patients with atopic dermatitis and its relation to disease severity and serum interleukin-4 level. *Int J Infect Dis* 2012; 16: 29-33.
- [24] Luthje P, Schwarz S. Antimicrobial resistance of coagulase-negative staphylococci from bovine subclinical mastitis with particular reference to macrolide-lincosamide resistance phenotypes and genotypes. *J Antimicrob Chemother* 2006; 57: 966-969.
- [25] Parsonnet J, Hansmann MA, Seymour JL, Delaney ML, DuBois AM, Modern PA, et al. Persistence survey of Toxic Shock Syndrome toxin-1 producing *Staphylococcus aureus* and serum antibodies to this superantigen in five groups of menstruating women. *BMC Infect Dis* 2010; 10: 249.
- [26] Gupta S, Laskar N, Kadouri DE. Evaluating the effect of oxygen concentrations on antibiotic sensitivity, growth, and biofilm formation of human pathogens. *Microbiol Insights* 2016; 9: 37-46.
- [27] Yang L, Wang K, Li H, Denstedt JD, Cadieux PA. The influence of urinary pH on antibiotic efficacy against bacterial uropathogens. *Urology* 2014; 84: 731.e1-7.
- [28] Matsushima A, Kuroki Y, Nakajima S, Sakai T, Kojima H, Ueyama M. Low level of TSST-1 antibody in burn patients with toxic shock syndrome caused by methicillin-resistant staphylococcus aureus. *J Burn Care Res* 2015; 36: e120-124.
- [29] Corredor Arias LF, Luligo Espinal JS, Moncayo Ortiz JI, Santacruz Ibarra JJ, Alvarez Aldana A. Relationship between super antigenicity, antimicrobial resistance and origin of *Staphylococcus aureus* isolated. *Colomb Med (Cali)* 2016; 47: 15-20.
- [30] Seyed javadi SS, Alebouyeh M, Nazem Alhosseini Mojarrad E, Zali MR. Frequency of class 1 integron and multidrug resistance pattern among isolates of *Staphylococcus aureus* from hospitalized patients and environmental samples in an intensive care unit in Tehran, Iran. *Koomesh* 2014; 15:341-348.(Persian).
- Staphylococcus aureus* biofilm-forming surface protein SasG. *Proc Natl Acad Sci U S A* 2016; 113: 410-415.
- [2] Bokaiean M, Tahmasebi H, Shahraki Zahedani S, Adabi J. An investigation of toxic shock syndrome toxin-1 gene in methicillin-resistant clinical strains of *staphylococcus aureus* using multiplex PCR method. *Qom Univ Med Sci J* 2017; 11: 57-67. (Persian).
- [3] Arabestani MR, Rastiany S, Mousavi SF, Ghafel S, Alikhani MY. Identification of toxic shock syndrom and exfoliative toxin genes of *Staphylococcus aureus* in carrier persons, resistant and susceptible methicillin. *Tehran Univ Med J* 2015; 73: 554-560. (Persian).
- [4] Vafee Mehr M, Alikhani M, Tahmasebi H, Arabestani M. Identification and determination of the relationship between ccr alleles and antibiotic resistance in clinical isolates of methicillin resistant *staphylococcus aureus*. *J Babol Univ Med Sci* 2017; 19: 28-35. (Persian).
- [5] Adaleti R, Nakipoglu Y, Ceran N, Tasdemir C, Kaya F, Tasdemir S. Prevalence of phenotypic resistance of *Staphylococcus aureus* isolates to macrolide, lincosamide, streptogramin B, ketolid and linezolid antibiotics in Turkey. *Braz J Infect Dis* 2010; 14: 11-14.
- [6] Kilany A. Inducible clindamycin resistance among clinical isolates of *Staphylococcus aureus*. *Menoufia Med J* 2016; 29: 228-233.
- [7] Heydari N, Alikhani MY, Azizi Jalilian F, Tahmasebi H, Arabestani MR. Evaluation of real time PCR for detection of clinical isolates of *Staphylococcus aureus* and methicillin-resistance strains based on melting curve analysis method. *Koomesh* 2017; 19: 877-886. (Persian).
- [8] Tahmasebi H, Bokaeian M. The study of pantone valentin leukocidin (PVL) gene in methicillin-resistant *staphylococcus aureus* isolated from blood and wound in Zahedan, Iran. *Armaghane Danesh* 2016; 21: 591-604. (Persian).
- [9] Bahraminia F, Emadi SR, Emaneini M, Farzaneh N, Rad M, Khoramian B. A high prevalence of tylosin resistance among *Staphylococcus aureus* strains isolated from bovine mastitis. *Vet Res Forum* 2017; 8: 121-125.
- [10] Teeraputon S, Santanirand P, Wongchai T, Songjang W, Lapsomthob N, Jaikrasun D, et al. Prevalence of methicillin resistance and macrolide-lincosamide-streptogramin B resistance in *Staphylococcus haemolyticus* among clinical strains at a tertiary-care hospital in Thailand. *New Microbes New Infect* 2017; 19: 28-33.
- [11] Tahmasebi H, Zeiyni B, Dehbashi S, Motamedi H, Vafeifar M, Keramat F, Arabestani MR. The study of blaZ and mecA gene expression in methicillin-resistant *staphylococcus aureus* strains and the relationship between the gene expression patterns. 2017; 2017: 6. (Persian).
- [12] Saderi H, Emadi B, Owlia P. Phenotypic and genotypic study of macrolide, lincosamide and streptogramin B (MLS(B)) resistance in clinical isolates of *Staphylococcus aureus* in Tehran, Iran. *Med Sci Monitor Int Med J Exp Clin Res* 2011; 17: BR48-BR53. (Persian).
- [13] Vallianou N, Evangelopoulos A, Hadjisoteriou M, Avlami A, Petrikos G. Prevalence of macrolide, lincosamide, and streptogramin resistance among staphylococci in a tertiary care hospital in Athens, Greece. *J Chemother* 2015; 27: 319-323.
- [14] Sedaghat H, Nasr Esfahani B, Mobasherizadeh S, Sallari Jazi A, Halaji M, Sadeghi P, et al. Phenotypic and genotypic characterization of macrolide resistance among *Staphylococcus aureus* isolates in Isfahan, Iran. 2017; 9: 7.(Persian).
- [15] Martineau F, Picard FJ, Lansac N, Menard C, Roy PH, Ouellette M, Bergeron MG. Correlation between the resistance

Resistance pattern to macrolides and tetracyclines and detection of ermA, ermB, emrC and mphc genes in clinical isolates of *Staphylococcus aureus* producing toxic shock syndrome toxin-1

Hamed Tahmasebi (M.Sc)¹, Sanaz Dehbashi (Ph.D Student)², Mohammad Reza Arabestani (PhD) ^{2,3*}

1 - Dept. of Microbiology, Zahedan University of Medical Sciences, Zahedan, Iran

2 - Dept. of Microbiology, Hamadan University of Medical Sciences, Hamadan, Iran

3 - Brucellosis Research Center, Hamadan University of Medical Sciences, Hamadan, Iran

* Corresponding author. +98 813838077 mohammad.arabestani@gmail.com

Received: 14 Feb 2018; Accepted: 5 Sep 2018

Introduction: The excessive use of Macrolide-Lincosamide-Streptogramin B (MLSB) to treat infections caused by *Staphylococcus aureus* (*S. aureus*), the producer of toxic shock syndrome toxin-1 (TSST-1), can provide the basis for the emergence of resistant strains. The purpose of this study was to determine the pattern of antibiotic resistance to macrolides and tetracyclines and the genes involved in the occurrence of these resistance in *S. aureus* strains with TSST-1 toxin.

Materials and Methods: In this descriptive cross-sectional study, 113 isolates of *S. aureus* were studied. Determination of pattern of resistance to macrolides and tetracyclines and different induction phenotypes was performed using disk diffusion method and D test. PCR was used to determine the presence of ermA, ermB, ermC, mphC and tsst gene.

Results: Of 113 isolates of *S. aureus*, 13 isolates (11.5%) were phenotypic D and 11 isolates (9.7%) were a phenotype R. Based on the resistance to clindamycin-erythromycin, 69 isolates (61.66%) were identified as S-phenotype. Tetracycline-resistant isolates (59.29%) had the highest frequency, and isolates resistant to minosilicon, dithromycin and tritromycin had the lowest abundance. In addition, 16 isolates (15.14%) were tsst gene, 15 isolates (13.27%) were ermA gene, 6 isolates (5.3%) were ermB gene, 14 isolates (12.38%) were genes ermC and 1 isolate (0.88%) were also carriers of the aphC gene. There was a significant relationship between *S. aureus* MLSB strains and tsst gene presence ($p \geq 0.05$).

Conclusion: Induced resistance to clindamycin and tetracycline had a significant relationship with the presence of tsst gene in *S. aureus* strains producing TSST-1 toxin.

Keywords: *Staphylococcus Aureus*, Antibiotic Resistance, Tsst Gene, Toxic Shock Syndrome Toxin-1, ermA Gene, ermB Gene.